

УДК 661.183.2, 620.181.4

DOI: 10.15372/KhUR20160607

Получение микропористых углеродных адсорбентов из бересты коры березы

Н. М. МИКОВА¹, Н. В. ЧЕСНОКОВ^{1,2}, В. А. ДРОЗДОВ³, Б. Н. КУЗНЕЦОВ¹¹Институт химии и химической технологии Сибирского отделения РАН, Красноярск, Россия

E-mail: cnv@icct.ru

²Красноярский научный центр Сибирского отделения РАН, Академгородок, Красноярск, Россия³Институт проблем переработки углеводородов Сибирского отделения РАН, Омск, Россия

(Поступила 10.11.15; после доработки 24.02.16)

Аннотация

Предложен способ получения микропористых углеродных материалов из исходной и предварительно модифицированной в условиях пиролиза бересты коры березы методом щелочного активирования гидроксидом калия. Показано, что наибольшее влияние на формирование пористой структуры получаемых образцов оказывает предварительная термообработка бересты березы в интервале 280–400 °C, способствующая в ходе последующей активации щелочью образованию углеродных материалов с развитой удельной поверхностью $S_{БЭТ} = 1300–2100 \text{ м}^2/\text{г}$ и объемом микропор до 0.87 см³/г.

Ключевые слова: береста коры березы, щелочная активация, термообработка, углеродный материал, удельная поверхность, микропористость

ВВЕДЕНИЕ

Совершенствование способов получения дешевых углеродных адсорбентов из отходов сырья предприятий химико-лесного комплекса путем повышения эффективности комплексной переработки всей биомассы дерева имеет актуальное значение [1–5]. Развитие производства углеродных материалов продиктовано отчетливой тенденцией в расширении сферы применения и нацелено на их удешевление, например, за счет увеличения степени использования коры березы.

По своей значимости кора березы – второй после древесины компонент биомассы дерева. Это побочный продукт, который образуется в больших количествах в процессах лесо- и деревопереработки, и в отсутствие условий для

утилизации становится крупнотоннажным отходом, накапливаясь в отвалах и загрязняя воздух и почву продуктами разложения.

Березовая кора имеет ограниченное применение, преимущественно для ветеринарных и фармакологических целей (дегтярные продукты), сельскохозяйственного назначения (структуривание почвы, кормовые добавки) и декоративного творчества. Традиционно березовая кора рассматривается как сырье с низким коэффициентом использования, основные способы утилизации которого – прямое сжигание и термическая переработка в дешевые сорбционные материалы и деготь.

В то же время кора березы представляет собой ценный вторичный биоресурс для получения востребованных продуктов на основе главных компонентов коры – луба и бере-

сты [6, 7]. Береста березы (ББ) служит основным источником для выделения ценных органических веществ фармацевтического и медицинского назначения на основе экстрагируемых веществ, главным образом суберина и бетулина, суммарное содержание которых в бересте достигает 50–60 мас. % [8, 9]. Однако твердый остаток, остающийся после экстракции, как правило, не используется.

Важнейшее направление обоснованного подхода к вопросу комплексной утилизации отходов коры и бересты березы может быть реализовано путем оптимальной организации безотходной химической переработки с большими возможностями получения расширенного спектра различных продуктов с новыми свойствами. Береста березы как биополимер углеродсодержащей природы непосредственно может рассматриваться в качестве привлекательного многокомпонентного материала для расширения ассортимента получаемых химической переработкой практически важных продуктов различного функционального применения, в том числе сорбционных и углеродных материалов [10, 11].

Интерес к использованию бересты березы для получения углеродных материалов (УМ) обусловлен ее слоистой полимероподобной структурой, высоким содержанием углерода и химическими свойствами, а именно, способностью к образованию дегтя – смеси углеводородов преимущественно ароматического ряда при термообработке. Получение и применение УМ из бересты перспективно при созданииресурсосберегающих технологических процессов.

Известно, что природные углеродсодержащие предшественники – подходящее сырье для получения высокопористых углеродных материалов в присутствии химических соединений [12, 13]. Направленное формирование пористой структуры УМ, улучшение текстурных и адсорбционных свойств могут обеспечить методы термохимической активации, в том числе использование соединений щелочных металлов в качестве активирующих реагентов [5, 14, 15].

Так, активация гидроксидом калия разнообразных углеродсодержащих предшественников – эффективный метод получения УМ с оптимизируемым размером микропор и улучшенными адсорбционными свойствами по

отношению к низкомолекулярным веществам разной природы. КОН-активированные продукты имеют широкие сферы применения в качестве адсорбентов, эффективных для применения в области очистки и разделения газов, катализаторов и их носителей [16–18].

Переработка бересты березовой коры может быть направлена на получение ряда новых УМ, отличающихся развитой пористой текстурой с большой площадью активной поверхности ($1000\text{--}2000\text{ м}^2/\text{г}$), высокой сорбционной способностью и перспективных по доступности и стоимости.

Термохимическая конверсия бересты до пористого УМ ранее не исследовалась. Береста березы выбрана в качестве исходного материала ввиду доступности и потенциальной пригодности как углеродистого предшественника. В настоящей статье осуществлена попытка синтезировать микропористые УМ с высокой удельной поверхностью из ББ путем предварительной пиролитической (термической) конверсии исходного материала и дополнительной химической активации частично карбонизированного продукта за счет нагревания от комнатной температуры до $800\text{ }^\circ\text{C}$ в присутствии КОН.

В настоящей работе изучен процесс формирования пористой структуры и свойства пористых УМ, получаемых из ББ в условиях термохимической активации КОН.

ЭКСПЕРИМЕНТАЛЬНАЯ ЧАСТЬ

В качестве исходного материала использовали воздушно-сухую бересту коры березы, измельченную до частиц размером $1.0\times(8\text{--}10)\text{ мм}$; остаточная влажность примерно 3 %, зольность 2.1 %; элементный состав, мас. %: С 67.1, Н 9.6, Н 0.6.

Предварительную термообработку образца ББ проводили в закрытом крышкой фарфоровом тигле, помещенном в муфельную печь. Нагрев осуществляли со скоростью $10\text{ }^\circ\text{C}/\text{мин}$ до конечной температуры $280\text{--}400\text{ }^\circ\text{C}$, с выдержкой при конечной температуре в течение 60 мин.

Стадию термохимической активации КОН, смешанным с исходными или пиролизованными образцами бересты в массовом отношении

1 : 3, осуществляли в атмосфере аргона при скорости подъема температуры 10 °C/мин до конечной температуры нагрева 800 °C, с изотермической выдержкой при ней 1 ч. Выделение продукта проводили в соответствии с процедурой, описанной в [5]. Углеродный материал высушивали в сушильном шкафу при температуре 105–110 °C до постоянной массы.

Сорбционную способность полученных углеродных адсорбентов к поглощению паров бензола и воды оценивали в стационарных условиях равновесного заполнения пор при комнатной температуре.

Измерения удельной поверхности углеродных материалов проводили на установке ASAP-2020 (Micromeritics) по адсорбции N₂ при –196 °C после предварительной подготовки образцов путем их выдерживания в вакууме в течение 24 ч при 300 °C и остаточном давлении 0.001 мм рт. ст. до прекращения газовыделения. Стандартную обработку изотерм адсорбции азота с расчетом суммарной поверхности методом БЭТ, общего объема пор и объема микропор (с размером менее 2 нм) проводили в диапазоне относительных давлений паров $P/P_0 = 0.001\text{--}0.995$.

Морфологические исследования текстуры полученных образцов проводили методом сканирующей электронной микроскопии (СЭМ) на микроскопе HitachiTM-3000.

Измерения адсорбции диоксида углерода проводили на объемной вакуумной статической автоматизированной установке Sorptomatic-1900, CarloErba при 0 °C. Предварительную подготовку углеродных образцов проводили в вакууме при 350 °C в течение 24 ч. Изотермы адсорбции CO₂ сняты в области относительных давлений адсорбтива ($4 \cdot 10^{-5}\text{--}0.030$). Пористую текстуру УМ изучали по изотермам адсорбции CO₂ с применением уравнения Дубинина – Радушкевича для расчета микропор размером до 0.7–0.9 нм, при относительном давлении адсорбтива <0.015 мм рт. ст.

Регистрацию ИК-спектров полученных из бересты УМ осуществляли на спектрометре ИК-Фурье Vector-22 (Bruker) в области длин волн 400–4000 cm^{–1}. Обработку спектральной информации проводили по программе OPUS/YR (версия 2.2). Твердые образцы для съемки готовились в виде таблеток в матрице KBr массой 1 мг.

Термогравиметрическое изучение образцов исходной и термически модифицированной бересты выполнено с использованием анализатора STA 449^{F1} (Netzsch). Навеску образца нагревали в атмосфере аргона в алюминиевом тигле от 30 до 800 °C при скорости нагрева 10 °C/мин.

РЕЗУЛЬТАТЫ И ОБСУЖДЕНИЕ

Как показали результаты исследования, в условиях карбонизации при температуре 800 °C можно получить УМ с развитой пористой структурой. Значения удельной поверхности, пористого объема и сорбционной активности по бензолу и воде углеродных образцов, полученных из ББ при различных соотношениях КОН, представлены в табл. 1.

Как видно, при увеличении содержания твердого гидроксида в исходной смеси с ББ заметно (с 887 до 1310 м²/г) возрастает удельная поверхность $S_{\text{БЭТ}}$ полученных в условиях пиролиза углеродных продуктов. По-видимому, усиление активирующего воздействия КОН при повышении его массового содержания в смеси КОН/ББ от 1 до 3, способствует разрыхлению плотной структуры бересты, более полному вовлечению компонентов в активационный процесс и, в конечном итоге, улучшению пористости и адсорбционной способности.

Повышение концентрации щелочи, способствующей увеличению удельной поверхности и пористого объема, а следовательно, улучшению адсорбционных свойств, согласуется с ранее полученными нами результатами по развитию пористости в углеродных продуктах, полученными методом химической активации природных органических предшественников [4, 5, 11].

Морфология поверхности углеродных образцов, полученных активацией бересты гид-

ТАБЛИЦА 1

Влияние количества КОН на свойства углеродных материалов, получаемых при 800 °C из исходной бересты березы

Исходные смеси	$S_{\text{БЭТ}},$ м ² /г	$V_{\text{пор}},$ см ³ /г	Сорбция, г/г	
			Бензол	H ₂ O
ББ/КОН, 1 : 1	887	0.52	0.54	0.31
ББ/КОН, 1 : 3	1310	0.54	0.71	0.63

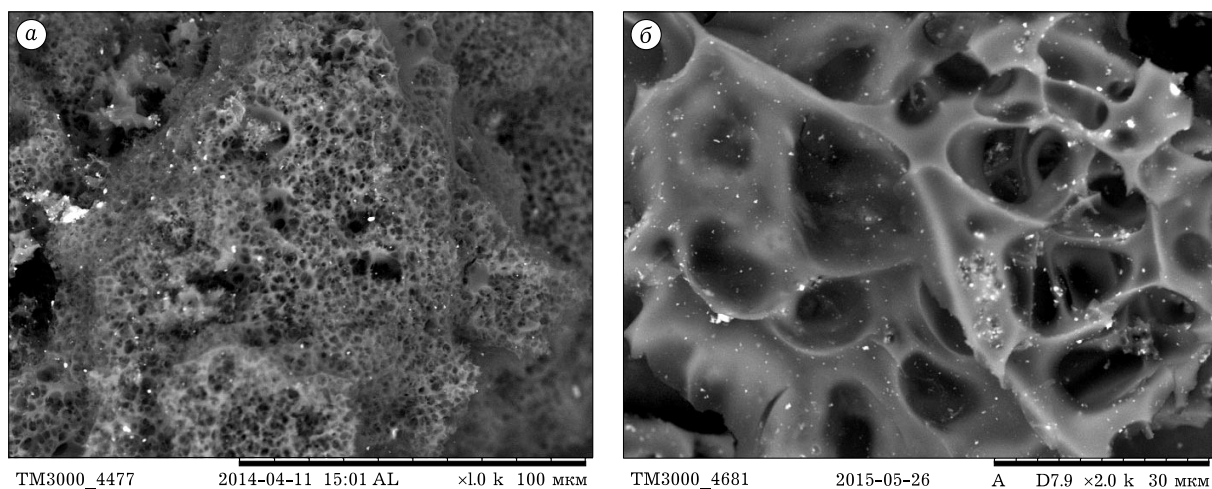


Рис. 1. Микрофотографии углеродных образцов из исходной бересты березы (ББ), активированных КОН в различном соотношении: а – 1 : 1 (ув. 1000, б – 1 : 3 (ув. 2000).

роксидом калия в соотношении 1 : 1 и 1 : 3, изучена с помощью СЭМ. Приведенные на рис. 1 микрофотографии образцов, полученных при различных соотношениях КОН, демонстрируют вспененную ажурно-пористую структуру. Пористая сеть материала представлена упорядоченными и относительно однородными по форме порами с размером примерно 1 мкм. Регистрируемое методом СЭМ на поверхности образца наличие пор большего размера (до 5–10 мкм) свидетельствует о развитии более широкого диапазона пор по размерам с увеличением количества КОН.

Проведенные исследования по изучению процесса формирования пористости углеродных образцов выявили связь между реакционной способностью исходного предшественника, его составом и склонностью к развитию пористости при 800 °С под действием КОН. Обнаружено, что КОН в массовом от-

ношении 3 : 1 оказывает более существенное влияние на развитие пористой структуры в случае, если ББ предварительно термообрабатывают при температурах 280–400 °С. По-видимому, предобработка в определенном температурном интервале промотирует химическую трансформацию вещества бересты в углеродистый предшественник, состав и структура которого играют направляющую роль в формировании той или иной степени пористости углеродного материала, получаемого в результате последующей активации КОН.

Из данных табл. 2 следует, что на величину удельной поверхности получаемых продуктов сильнее всего влияет термообработка ББ при 280 °С. При этой температуре происходит частичный пиролиз бересты с образованием берестового дегтя, образец приобретает высокую реакционную способность к последующему щелочному воздействию. Появление большого количества реакционноспособных связей и групп у входящих в состав дегтя веществ (фенолы, бетулин, насыщенные и ненасыщенные, в том числе ароматические, кислоты, спирты и др.), по-видимому, и обуславливает их уникальный спектр действия по отношению к КОН. Комплекс реакций газификации и интеркалирования в процессе последующей активации КОН способствует развитию пористой структуры [19, 20].

Снижение $S_{\text{БЭТ}}$ и N_2 адсорбционной способности с повышением температуры предоб-

ТАБЛИЦА 2

Влияние температуры предобработки бересты на свойства активированных КОН (800 °С) углеродных образцов

Образцы	$S^*_{\text{уд}}(\text{БЭТ}), \text{м}^2/\text{г}$	Сорбция, г/г	
		Бензол	H_2O
ББ-280/КОН, 1 : 3	2107	0.94	0.89
ББ-350/КОН, 1 : 3	1767	0.75	0.73
ББ-400/КОН, 1 : 3	1136	0.43	0.33

* Интервал применимости уравнения БЭТ: $P/P_0 = 0.05–0.2$.

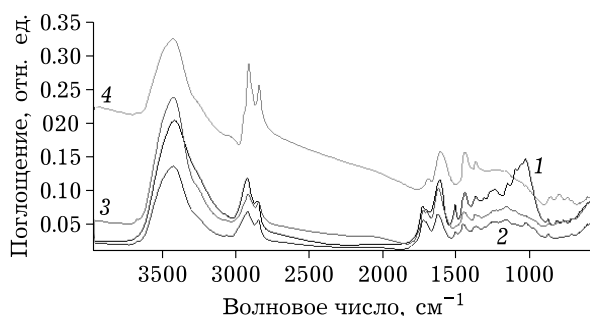


Рис. 2. ИК-спектры образцов бересты березы: 1 – исходная, 2–4 – обработанная при 280 (2), 350 (3) и 400 °C (4).

работки бересты с 280 до 400 °C согласуется с образованием углеродных полигорюческих структур, которые в меньшей степени влияют на развитие общей пористости в ходе последующей щелочной активации [4, 19].

Для сравнения, образцы из неактивированной KOH бересты, полученные термообработкой при 280–400 °C, являются непористыми, величина их удельной поверхности варьирует в пределах $S_{\text{БЭТ}} = 4\text{--}12 \text{ м}^2/\text{г}$. Хотя столь низкие значения нельзя измерить точно по адсорбции N_2 , но они определенно отражают влияние KOH на развитие пористой структуры при активации.

Изучение методом ИК-спектроскопии исходной бересты и продуктов ее термического разложения в интервале температур 280–400 °C выявило схожесть и некоторые различия в их функциональном составе. Сложная картина спектра исходной ББ представлена (рис. 2, кривая 1) набором полос поглощения (п. п.) с высокой концентрацией OH-групп, главным образом, спиртов и фенолов (с максимумом при 3426 см^{-1}), участвующих в сильных межмолекулярных взаимодействиях, алифатических фрагментов ($\nu_{\text{C-H}}$ при 2926 и 2854 см^{-1}) и наличием интенсивного поглощения в области от 1317 до 1035 см^{-1} с участием валентных колебаний связей C–C, C–O и C–O–C спиртовых и эфирных групп, характеризующих многокомпонентный состав природного биополимера с разнообразными функциональными группами, принадлежащими углеводородам различных классов в составе тритерпеноидов, дубильных веществ, алкалоидов, эфирных масел и др. [8, 21, 22].

ИК-спектр продукта термообработки бересты при 280 °C (ББ-280) вследствие дегидратации и частичного отщепления функциональных групп характеризуется снижением интенсивности деформационных колебаний связей C–O и C–H алифатических и спиртовых OH-групп, а также эфирных связей, на что указывает уменьшение интенсивности поглощения в области $1245\text{--}1035 \text{ см}^{-1}$ (см. рис. 2, кривая 2). По сравнению со спектром исходной бересты отмечается относительное возрастание интенсивности п. п. в областях спектра при 1735 см^{-1} , обусловленное валентными колебаниями карбонильных/карбоксильных C=O-групп, и полосы при 1630 см^{-1} , соответствующей колебаниям ненасыщенных связей C=C в олефиновых фрагментах [22].

При повышении температуры обработки ББ до 350 °C спектр образца в целом изменяется незначительно: наблюдается последовательное перераспределение и снижение интенсивности простых C–O эфирных и спиртовых OH-функциональных групп в области $1167\text{--}1000 \text{ см}^{-1}$ (см. рис. 2, кривая 3) при повышении преимущественного содержания фенольных соединений ($3430, 1380, 1225 \text{ см}^{-1}$). Усиление интенсивности поглощения в области валентных колебаний связи C–C кольца при 1620 и 1450 см^{-1} , а также наличие характерного триплета п. п. в интервале $870\text{--}750 \text{ см}^{-1}$, обусловленного неплоскими деформационными колебаниями связи C–H бензольного кольца с различным типом и характером замещения, указывает на возросшее количество ароматических соединений в образце ББ-350.

Дальнейшее увеличение температуры обработки бересты до 400 °C (см. рис. 2, кривая 4) приводит к сдвигу поглощения карбонильных групп C=O для образца ББ-400 в сторону меньших частот с максимумом при 1695 см^{-1} против 1735 см^{-1} у образца ББ-280. По-видимому, это вызвано сопряжением карбонильной группы с кратными связями C=C кольца (1616 см^{-1}) и указывает на присутствие в образце ББ-400 полисопряженных конденсированных алкилароматических структур [21, 22]. Усиление поглощения в области связей C–H при 2920 и 2850 см^{-1} , а также 1450 и 1374 см^{-1} с повышением температуры может указывать на вклад CH₃-группировок,

принадлежащих, например, метиловым эфирам фенолов в составе образующейся смолы.

Учитывая сложную структуру смеси соединений, образующихся в результате термообработки бересты, и данные их ИК-спектров, можно сделать вывод о том, что продукты частичного пиролиза бересты содержат много компонентов с ненасыщенными связями, полярных группировок различной природы и кратных связей и поэтому легче, по сравнению с исходной берестой, вступают в химическое взаимодействие с KOH, изменяя свой состав и структуру.

Процесс термической деструкции исходной ББ и образцов ББ, пиролизованных при 280–400 °C, изучен методами термогравиметрического и дифференциального-термического анализа [23]. Результаты термогравиметрического исследования позволяют выделить на профиле кривых ТГ/ДТГ (рис. 3) два основных этапа потери массы вещества в процессе терморазложения исходной бересты.

Плавная потеря массы исходной ББ отмечается на кривой ТГ вплоть до температуры 213.6 °C и характеризует в основном процесс удаления влаги и слабо адсорбированных молекул, в том числе таких как H₂O, CO₂, CH₄ и др., образующихся в результате окислительно-гидролитической деструкции связей в бересте [24, 25]. Регистрируемой в этом интервале по-

тере массы 3.12 % на профиле ДСК соответствует интенсивный широкий эндотермический пик (-0.363 мВт/мг) с максимумом при 93.1 °C.

Процесс медленного преобразования бересты в интервале 220–274 °C протекает с невысокой скоростью (1.37 %/мин) и, вероятно, преимущественно связан с плавлением и разложением бетулина [26]. В этом диапазоне регистрируется потеря массы вещества, равная 10.5 %.

В интервале температур 320–380 °C наблюдается интенсивная убыль массы образца ББ, с пиком при 358.5 °C, о чем свидетельствует профиль кривой ДТГ; потеря массы органических фрагментов вещества со скоростью 3.7 %/мин в этом температурном интервале составила 22 %. На данном этапе происходит в основном деполимеризация макромолекул компонентов ББ. Сложная система компонентов с большой молекулярной массой (размером) макромолекул в ходе первичных реакций расщепления частично превращается в смесь более простых продуктов, в том числе смолистых и дегтярных.

Интервал температур 400–460 °C характеризуется выраженным максимумом термораспада при 418.5 °C и скоростью разложения 2.13 %/мин. Помимо первичных реакций расщепления здесь протекает целый ряд вторичных процессов, в том числе полимеризации, циклизации и кон-

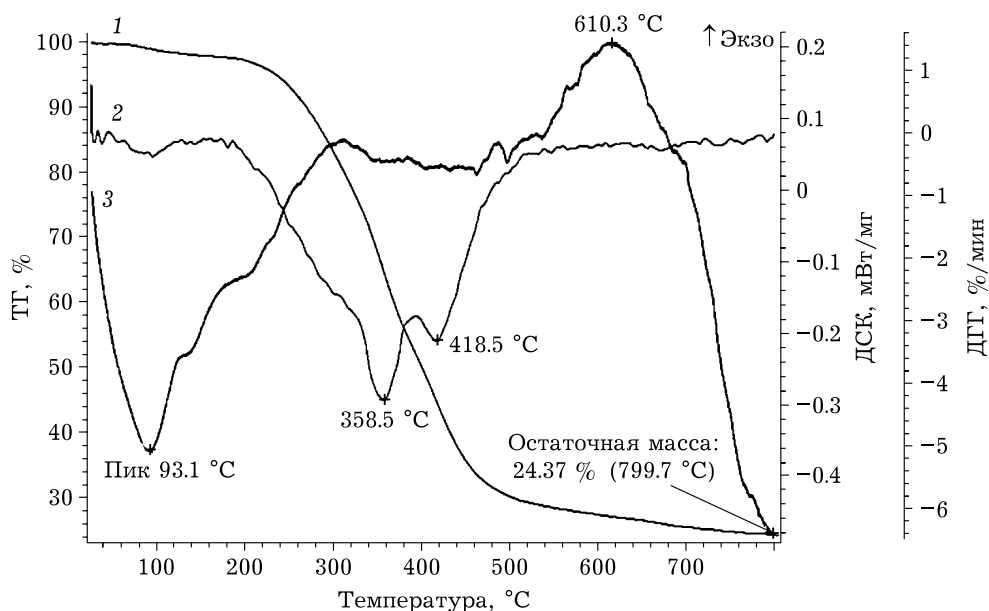


Рис. 3. Дериватограмма образца исходной бересты березы: ТГ (1), ДТГ (2), ДСК (3).

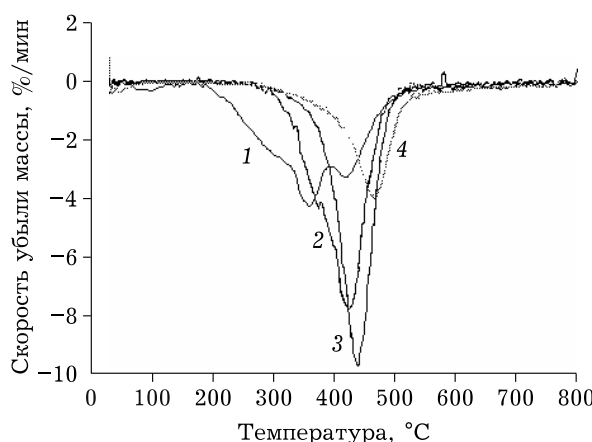


Рис. 4. ДТГ-анализ скорости изменения массы вещества бересты березы в зависимости от температуры обработки: 1 – исходная, 2–4 – обработанная при 280 (2), 350 (3) и 400 °C (4).

денсации исходных молекул, образующихся из них фрагментов и продуктов превращения [27]. При этом убыль массы составила 16 %.

Из сравнения данных ДТГ-анализа изменения массы вещества образцами исходной и термообработанной ББ (рис. 4) следует, что в этом же диапазоне температур происходит также максимальная убыль массы образцов ББ-280, ББ-350 и ББ-400 (37.17, 42.45 и 15.5 % соответственно) с соответствующими скоростями 6.24, 7.08 и 7.2 %/мин. Суммарная потеря массы вещества к 460 °C для ББ-280 достигает 70.4 %, а для ББ-350 – 61.85 %. Образец ББ-400 сохраняет 75 % своей массы.

Анализ результатов изменения массы в предварительно пиролизованных образцах свидетельствует о практически одностадийном процессе их дальнейшего терморазложения. При этом с повышением температуры предобработки происходит последовательный сдвиг основного температурного максимума разложения в сторону повышения от 418.5 °C для исходной бересты до 423 и 437.6 °C для ББ-280 и ББ-350 соответственно. Для ББ-400 максимум наблюдается при 460 °C.

Происходящие на этом этапе процессы термопревращения, связанные, по-видимому, с газообразованием, сопровождаются выраженным эндотермическими эффектами: $-0.078 \text{ мВт}/\text{мг}$ – для ББ-280 с пиком при 420.7 °C, $-0.226 \text{ мВт}/\text{мг}$ – для ББ-350 (при 431.1 °C) и $-0.145 \text{ мВт}/\text{мг}$ с пиком при 460 °C – для ББ-400.

Процесс терморазложения на заключительной стадии, вплоть до 800 °C, характеризуется плавным изменением профиля кривой ДТГ для всех образцов и соотносится с превращением продуктов термораспада в более стабильные высокомолекулярные полиароматические фракции типа мазута или битума и их преобразованием в твердое углеродистое вещество [28]. Завершается процесс образованием угольных остатков: 24.37 мас. % – из исходной бересты, из ББ-280 – 21 мас. %, из ББ-350 – 24.38 мас. %. Близкие значения остаточных масс позволяют предположить одинаковое направление терморазложения исходной бересты и ее частично пиролизованных производных до твердого остатка.

В случае образца ББ-400 угольный остаток массой 56 % обусловлен протеканием более глубоких преобразований связей С–С уже на стадии предварительной термообработки бересты, способствующей превращению фрагментов деструкции в твердые и более термостабильные продукты [28].

Интерпретация термического поведения ББ предложена на основании химического состава бересты и результатов ИК-спектроскопического изучения поверхностных функциональных групп на различных стадиях термопревращения ББ. Поясняя процессы, происходящие при термической обработке ББ в интервале температур 270–400 °C, авторы учитывали обоснованные сведения, полученные ранее другими исследователями при изучении механизмов термической деструкции целлюлозы как модельного вещества [27], так и трансформации смеси основных компонентов лигноцеллюлозных материалов – гемицеллюлоз, целлюлозы и лигнина [25].

Процесс термического превращения ББ как объекта природного происхождения, имеющего ряд особенностей состава и структуры, к сожалению, невозможно однозначно описать в виде схемы химических превращений из-за многообразия реакций, происходящих в ходе термодеструкции.

На основании данных термоанализа можно заключить, что в интервале 270–360 °C происходит формирование основных фрагментов деструкции в составе частично пиролизованной ББ, которые сохраняющие реакционную способность максимально влиять на

развитие пористой структуры в ходе дальнейшей щелочной активации. Образец ББ-400 оказывается уже в значительной степени "превращенным" в пиролизованный материал, термоустойчивая угольная матрица которого менее подвержена щелочному активированию. Возможно, снижение активирующего действия КОН можно объяснить образованием на поверхности образца продуктов уплотнения – тяжелых фракций высокомолекулярных органических соединений (типа мазута), препятствующих диффузии КОН в объем.

Щелочная активация продуктов термопревращения бересты при 800 °C заключается в формировании в активированных углеродных образцах развитой пористой структуры (табл. 2 и 3). Согласно их форме и профилю, углеродным образцам отвечают изотермы преимущественно I типа, принадлежащие микропористым материалам [29]. О характере адсорбции в микропористых системах, описываемых изотермами I типа, можно судить из сравнения изотерм адсорбции газов N₂ и CO₂, а также количественной оценки, основанной на теории объемного заполнения микропор (ТОЗМ) на углеродных адсорбентах. Для расчета суммарного объема пор, объема микропор V_{микро} с размером пор около 2 нм, поверхности микропор и характеристической энергии адсорбции использованы t-метод, основанный на получении изотермы адсорбции азота к толщине адсорбционного слоя непористого эталонного образца, а также метод Дубинина – Радушкевича (ДР) [30], с коэффициентами корреляции не менее 0.99 [31, 32].

В табл. 3 приведены полученные по адсорбции азота (–196 °C) данные текстуры уг-

леродных образцов из активированной КОН бересты коры березы, рассчитанные различными методами, включая и метод ТОЗМ.

Видно, что в интервале равновесных относительных давлений паров азота $P/P_0 = 0.01–0.10$ в соответствии с рекомендованным для применения интервалом для расчета S_{БЭТ} по изотерме адсорбции для микропористых веществ [33], когда завершается образование адсорбированного монослоя азота в микропорах, значение S_{БЭТ} близко к величине S_{уд}, рассчитанной из сравнительных графиков.

Полученные адсорбционные данные свидетельствуют о значительной микропористости УМ, хотя совокупность пор представлена и микро-, и мезопорами. Как следует из полученных результатов, образец ББ-280/КОН характеризуется максимальной удельной поверхностью (2029 м²/г) и суммарным адсорбционным объемом пор (1.11 см³/г). Он имеет наиболее широкое распределение пор по размерам и значительный средний размер пор, рассчитанный по уравнению $D_{\text{пор}} = 4V_{\text{адс}}/S_{\text{БЭТ}}$ (2.11 нм). На рис. 5 представлены кривые распределения пор по размерам (КРПР), рассчитанные по методу BJH [34], для активированных КОН образцов ББ, предварительно подвергнутых пиролизу при 280, 350 и 400 °C.

Количественная оценка, основанная на сравнении результатов изучения адсорбции N₂ t-методом и ТОЗМ, показала, что образец ББ-400/КОН в действительности микропористый, с пренебрежимо малой поверхностью пор более крупных размеров. Согласно результатам расчетов по упомянутым методам, мезопор в образце практически нет.

ТАБЛИЦА 3

Основные характеристики пористой структуры углеродных материалов, полученных активированием КОН образцов предварительно пиролизованной при 280–400 °C бересты березы (по адсорбции N₂ при –196.2 °C)

Образцы	S _{уд} (БЭТ), *м ² /г	V _{адс} , **см ³ /г,	С _{БЭТ}	V _{микро} , см ³ /г,		V _{мезо} , см ³ /г	D _{ср/пор} , нм
				t-метод	ТОЗМ (ДР)		
ББ-280/КОН, 1 : 3	2029	1.112	297	0.87	0.835	0.260	2.11
ББ-350/КОН, 1 : 3	1808	0.935	353	0.74	0.745	0.193	2.10
ББ-400/КОН, 1 : 3	1128	0.513	216	0.44	0.458	0.065	1.82

* Интервал применимости уравнения БЭТ выбран в области $P/P_0 = 0.01–0.1$.

** V_{адс} – суммарный адсорбционный объем пор, соответствующий количеству адсорбированного N₂ при относительном давлении $P/P_0 = 0.995$.

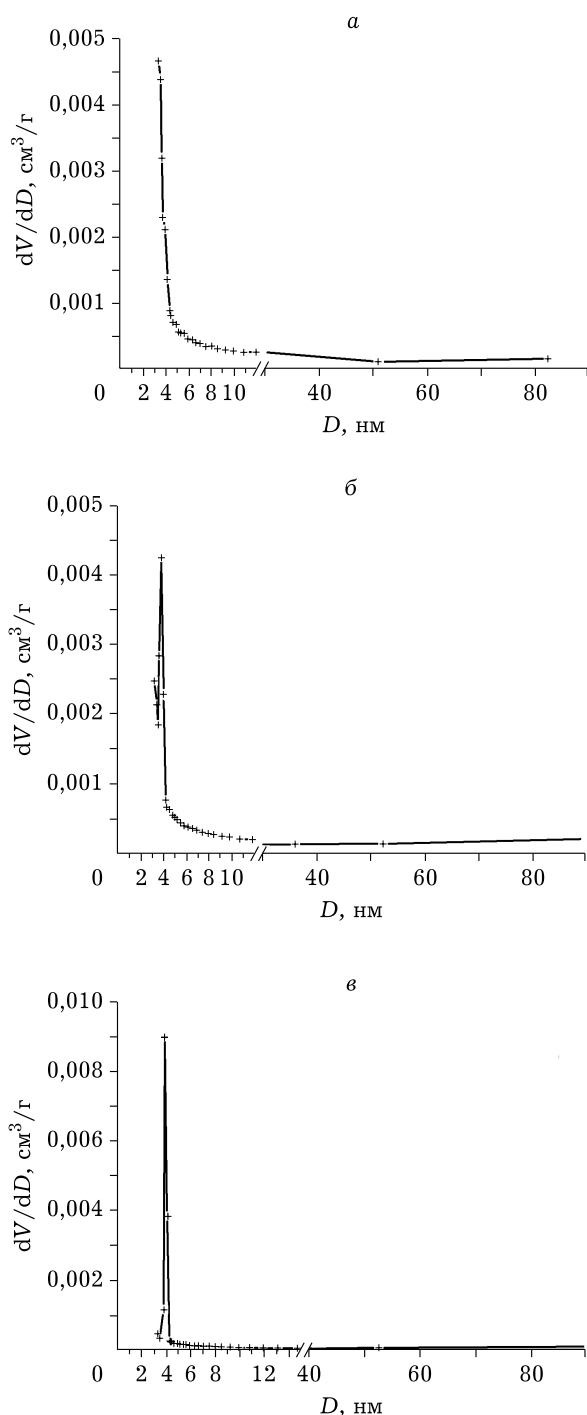


Рис. 5. Кривые распределения пор по размерам (КРПР), рассчитанные по методу BJH [34], для активированных KOH образцов бересты березы, предварительно подвергнутых пиролизу при 280 (а), 350 (б) и 400 °С (в).

Дополнительно для исследования характера самых “тонких” микропор с размерами не более 0.7–0.9 нм, которые практически недоступны для адсорбции азота при -196°C по диффузионным ограничениям, выполне-

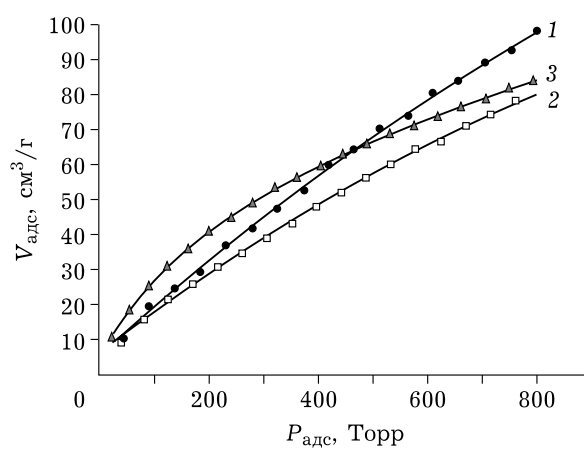


Рис. 6. Изотермы адсорбции CO_2 (273 K) на активированных KOH образцах бересты березы, предварительно подвергнутых пиролизу при 280 (1), 350 (2) и $400\text{ }^{\circ}\text{C}$ (3).

на адсорбция CO_2 при $0\text{ }^{\circ}\text{C}$ (рис. 6) [35]. Применение ТОЗМ для описания адсорбционных равновесий позволяет по изотерме адсорбции CO_2 определить стандартные характеристики углеродного адсорбента: удельный объем микропор $W_{\text{микро}}$, эффективную ширину пор H и характеристическую энергию адсорбции E_0 [36]. В табл. 4 приведены результаты дополнительного изучения микропористой структуры углеродных образцов из активированной KOH бересты, оцененные из анализа изотерм адсорбции CO_2 , с применением уравнения Дубинина – Радушкевича к методу ТОЗМ. Видно, что для образца ББ-280/KOH характерен максимальный объем микропор, имеющих относительно широкое распределение по размерам. Напротив, общую микропористую структуру образца ББ-400/KOH в основном составляют ультрамикропоры с узким диапазоном распределения по размерам (примерно 0.75 нм). Характер адсорб-

ТАБЛИЦА 4

Характеристики микропористой структуры углеродных образцов по данным адсорбции диоксида углерода ($0\text{ }^{\circ}\text{C}$) по методу ТОЗМ (ДР)

Образцы	$W_{\text{микро}}, \text{ см}^3/\text{г}$	$S_{\text{микро}}, \text{ м}^2/\text{г}$	$E_0, \text{ кДж/моль}$	$H, \text{ нм}$
ББ-280/KOH, 1 : 3	0.563	1472	21.33	0.94
ББ-350/KOH, 1 : 3	0.441	1155	21.85	0.92
ББ-400/KOH, 1 : 3	0.322	843	26.71	0.75

ции N_2 свидетельствует о большей неоднородности формы и размеров пор в образце ББ-280, нежели ББ-400.

Высокая энергия адсорбции CO_2 в микропорах образца ББ-400/КОН по сравнению с образцом ББ-280/КОН (26.7 против 21.3 кДж/моль соответственно) может свидетельствовать об усилении энергии взаимодействия адсорбата со стенками пор. Наряду с уменьшением среднего размера ширины пор H от 0.94 до 0.75 нм, это указывает на различия в адсорбции CO_2 на образце ББ-400/КОН и на образцах ББ-280/КОН и ББ-350/КОН, имеющих более крупные поры с большей неоднородностью формы и размеров.

По-видимому, низкие показатели сорбции паров бензола и воды на образце ББ-400/КОН (см. табл. 2) характеризуют особенность данного адсорбента, имеющего поры молекулярных размеров. Возможно, в условиях квазив равновесного заполнения для него не достигается требуемая глубина (степень) взаимодействия “микропористый адсорбент – адсорбат” вследствие диффузных ограничений [36].

Особенности микропористой системы УМ демонстрируют изотермы равновесной адсорбции CO_2 (см. рис. 6) на образцах активированной КОН в соотношении 3 : 1 ББ (800°C , 1 ч), подвергнутой предварительной термообработке при различных температурах. Анализ изотерм адсорбции CO_2 в области давлений ниже атмосферного при комнатных температурах

($0–25^\circ\text{C}$) выявил вклад ультрамикропор (“тонких” микропор) с размерами до 1.0 нм в общую микропористость образцов.

Следует отметить, что приведенные на рис. 6 изотермы образцов ББ-280/КОН и ББ-350/КОН не достигают насыщения и имеют практически линейный вид. Следовательно, адсорбция в этих интервалах равновесных давлений, по-видимому, протекает в области Генри. Форма изотермы образца ББ-400/КОН отличается по изменению кривизны в сторону меньшей адсорбции, что свидетельствует о более полном заполнении ультрамикропор адсорбтивом.

Как следует из данных табл. 4 и характеристики изотерм адсорбции CO_2 (рис. 6), наличие микропор, оцененное из анализа изотерм адсорбции CO_2 с применением уравнения Дубинина – Радушкевича, свидетельствует о максимальной микропористой поверхности у образца ББ-280/КОН. Хотя поверхность микропор $S_{\text{микро}} = 1472 \text{ м}^2/\text{г}$, т. е. примерно 72 % от всей $S_{\text{БЭТ}}$, для этого образца характерны более широкие микропоры и достаточное количество мезопор (почти 23 %).

Образец ББ-400/КОН, имеющий в целом ниже показатели по микропористой структуре, напротив, почти полностью ультрамикропористый, доля микропор со средним минимальным размером 0.75–0.94 нм достигает 74 % от общего количества микропор (89 %). Углеродный материал с такими параметрами

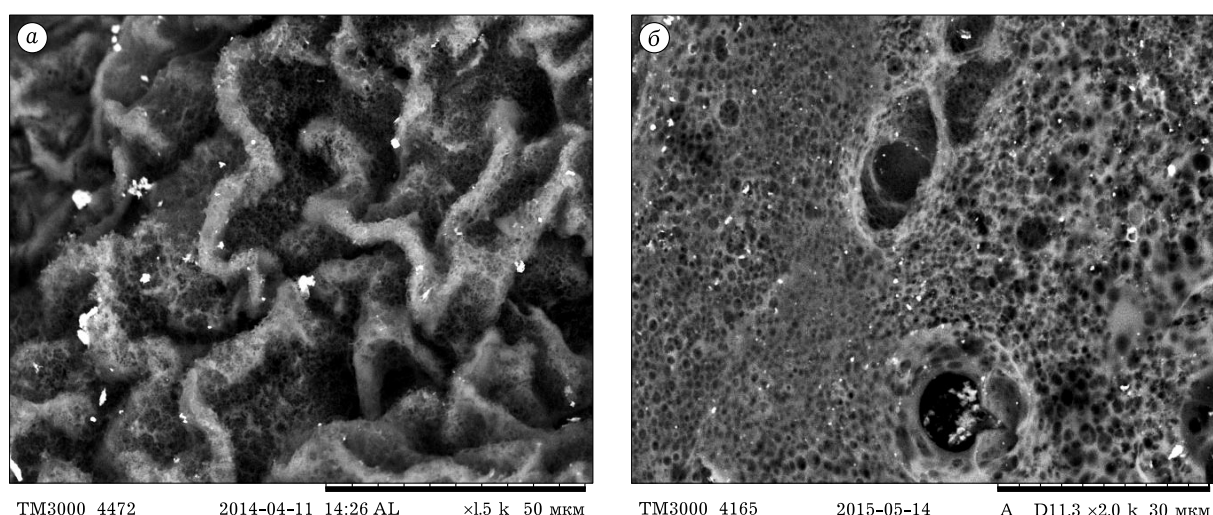


Рис. 7. Микрофотографии образцов активированной КОН бересты березы, предварительно термообработанной при 280 (а) и 400°C (б).

пористости может найти потенциальное применение, например, при сепарации молекул газов с разными размерами.

На СЭМ-изображении микроструктуры активированных КОН образцов ББ, предварительно термообработанных при 280 и 400 °C (рис. 7) отчетливо видна “распущеная” пористая структура с преимущественно сферическими порами у образца ББ-280 (см. рис. 7, а).

Поверхность образца ББ-400, напротив, гладкая, твердая и относительно однородная (см. рис. 7, б). Однако появление в приповерхностном слое исследуемых образцов пор со средним размером 0.4–0.6 мкм и пор даже большего размера может быть обусловлено разъедающим эффектом (травлением) образца в ходе химической активации КОН [37, 38]. Наружная коррозия поверхности образцов в процессе их получения способствует тому, что с наружной части образца формируются транспортные макропоры. Возникающая неоднородность пор в приповерхностных слоях фиксируется в качественной картине пористости (см. рис. 6).

Таким образом, УМ, полученные методом термохимической активации КОН предварительно обработанных при 280–400 °C образцов ББ, по удельной поверхности и сорбционной активности существенно (в 1.5–2 раза) превосходят УМ из термически не модифицированной бересты.

ЗАКЛЮЧЕНИЕ

Показана возможность термохимической переработки биомассы бересты коры березы с получением микропористых углеродных материалов, найдены условия модификации углеродистого предшественника и способа введения щелочного активатора с целью совершенствования процесса формирования пористой структуры.

На основании данных, полученных методами ИК-спектроскопии и термического анализа, выяснено, что в интервале 270–360 °C формируются основные фрагменты деструкции в составе частично пиролизованной бересты березы, оказывающие наибольшее влияние на развитие пористой структуры углеродного материала в ходе дальнейшей щелочной активации.

Исследования методами адсорбции стандартных газов N₂ и CO₂ и СЭМ демонстрируют возможность совершенствования микропористой текстуры в активированных КОН углеродных образцах путем подбора условий предварительной термообработки бересты березы.

Установлено, что варьирование температуры предварительной термообработки бересты березы, изменение в условиях пиролиза состава и реакционной способности углеродистого предшественника, при последующей активации КОН, позволяет получать углеродные материалы с высокоразвитой удельной поверхностью (примерно 1350–2100 м²/г) и высокой степенью микропористости (70–89 %).

Определены оптимальные условия, позволяющие в зависимости от требуемых назначений направленно получать из исходной или предварительно модифицированной бересты углеродные материалы с преимущественно развитой мезо- или микропористостью.

Таким образом, полученные результаты свидетельствуют о перспективности использования бересты березы в качестве многокомпонентного биоресурса для расширения ассортимента востребованных продуктов различного функционального назначения, в том числе сорбентов и углеродных материалов.

Исследования выполнены при финансовой поддержке Минобрнауки России (проект RFMEF-160714X0031).

СПИСОК ЛИТЕРАТУРЫ

- 1 Кузнецов Б. Н., Чесноков Н. В., Михлин Ю. Л., Цыганова С. И., Микова Н. М., Гарынцева Н. В., Иванченко Н. М. // Химия уст. разв. 2015. Т. 23, № 5. С. 515–521.
- 2 Kijima M., Hirukawa T., Hanawa F., Hata T. // Biores. Technol. 2011. Vol. 102. P. 6279–6285.
- 3 Gonzalez J. F., Roman S., Encinar J. M., Martenez G. // J. Anal. Appl. Pyrol. 2009. Vol. 85. P. 134–141.
- 4 Микова Н. М., Иванов И. П., Чесноков Н. В., Жижаев А. М. // ЖПХ. 2013. Т. 86, № 10. С. 1571–1582.
- 5 Чесноков Н. В., Микова Н. М., Иванов И. П., Кузнецов Б. Н. // Журн. СФУ. Химия. 2014. Т. 7, № 1. С. 42–53.
- 6 Кислицын А. Н. // Химия древесины. 1994. № 3. С. 3–28.
- 7 Кузнецов Б. Н., Кузнецова С. А., Левданский В. А., Судакова И. Г., Веселова О. Ф. // Химия уст. разв. 2005. Т. 13, № 3. С. 391–400.
- 8 Толстиков А. Г., Флехтер О. Б., Шульц Э. Э., Балтина Л. А. // Химия уст. разв. 2005. Т. 13, № 1. С. 1–30.
- 9 Khezami L., Chetouani A., Taouk B., Capart R. // Powder Technol. 2005. Vol. 157. P. 48–56.

- 10 Веприкова Е. В., Терещенко Е. А., Чесноков Н. В., Кузнецов Б. Н. // Журн. СФУ. Химия. 2012. Т. 5, № 2. С. 178–188.
- 11 Чесноков Н. В., Микова Н. М., Иванов И. П. // Химия природ. соед. 2014. № 3. С. 505–506.
- 12 Dizhbite T., Zakis G., Kizima A., Lazareva E., Rossinskaya G., Jurkjane V., Telysheva G., Viesturs U. // Bioresour. Technol. 1999. Vol. 67. P. 221–228.
- 13 Angin D. // Fuel. 2014. Vol. 115. P. 804–811.
- 14 Labus K., Gryglewicz S., Machnikowski J. // Fuel. 2014. Vol. 118. P. 9–15.
- 15 Lillo-Rodenas M. A., Juan-Juan J., Cazorla-Amoros D., Linares-Solano A. // Carbon. 2004. Vol. 42. P. 1371–1375.
- 16 Szczurek A., Amaral-Labat G., Fierro V., Pizzi A., Celzard A. // Micropor. Mesopor. Mater. 2014. Vol. 196. P. 8–17.
- 17 Linares-Solano A., Lozano-Castello D., Lillo-Rodenas M. A., Cazorla-Amoros D. // Chemistry and Physics of Carbon / L. R. Radovic. NY: CRC Press, 2008. Vol. 30. P. 1–62.
- 18 Rui-Qin Sun, Lin-Bing Sun, Yuan Chun, Qin-Hua Xu // Carbon. 2008. Vol. 46. P. 1757–1764.
- 19 Lillo-Rodenas M. A., Cazorla-Amoros D., Linares-Solano A. // Carbon. 2003. Vol. 41, No. 2. P. 267–275.
- 20 Marsh H., Rodriguez-Reinoso F. Activated Carbon. London: Elsevier Ltd., 2006. 537 P.
- 21 Pandey K. K. // J. Appl. Polymer Sci. 1999. Vol. 71, No. 12. P. 1969–1975.
- 22 Беллами Л. Новые данные по ИК-спектрам сложных молекул. М.: Мир, 1971. 590 с.
- 23 Павлова С. А., Журавлева И. В., Толчинский Ю. И. Термический анализ органических и высокомолекулярных соединений. М: Химия, 1983. 120 с.
- 24 Wang S., Guo X., Wang K., Luo Z. // J. Anal. Appl. Pyrol. 2011. Vol. 91. P. 183–189.
- 25 Stefanidis S. D., Kalogiannis K. G., Iliopoulos E. F., Michailof Ch., Pilavachi P. A., Lappas A. A. // J. Anal. Appl. Pyrol. 2014. Vol. 105. P. 143–150.
- 26 Полежаева Н. И., Нефедов А. А. // Химия раст. сырья. 2008. № 4. С. 137–140.
- 27 Фенелонов В. Б. Пористый углерод. Новосибирск: Изд-во ИК СО РАН, 1995. 612 с.
- 28 Таланин Ф. А. Производство березового дегтя. М.: Лесн. пром-сть, 1981. 72 с.
- 29 Gregg S. J., Sing K. S. W. Adsorption, Surface Area and Porosity. NY: Acad. Press, 1991. 303 p.
- 30 Lippens B. C., Boer J. H. // J. Catal. 1965. Vol. 4, No. 3. P. 319–323.
- 31 Dubinin M. M. // Carbon. 1989. Vol. 27, No. 3. P. 457–467.
- 32 Scherdel C., Reichenauer G., Wiener M. // Micropor. Mesopor. Mater. 2010. Vol. 132. P. 572–575.
- 33 Kaneko K., Ishii C. // Colloids Surf. 1992. Vol. 67. P. 203–212.
- 34 Barrett E. P., Joiner L. G., Halenda P. H. // J. Amer. Chem. Soc. 1951. Vol. 73. P. 373–380.
- 35 Cazorla-Amoros D., Alcaniz-Monge J., de la Casa-Lillo M. A., Linares-Solano A. // Langmuir. 1998. Vol. 14. P. 4589–4596.
- 36 Адсорбция, адсорбенты и адсорбционные процессы в нанопористых материалах: Сб. монографий / Под ред. А. Ю. Цивадзе. М.: Граница, 2011. 496 с.
- 37 Lozano-Castello D., Suarez-Garsia F., Cazorla-Amoros D., Linares-Solano A. // CRC Press - Taylor and Francis Group, Boca Raton-New York, 2002, P. 115–162.
- 38 Брандтон Д., Канлан У-М. Микроструктура материалов. Методы исследования и контроля: учеб. пособие: пер. с англ. М.: Техносфера, 2004. 377 с.